

(©) 1994 г.

# ВЛИЯНИЕ НЕТЕРМАЛИЗОВАННЫХ ЭЛЕКТРОНОВ НА ФОТОПРОВОДИМОСТЬ ГЕТЕРОСТРУКТУР GaAs/AlGaAs ПРИ ЦИКЛОТРОННОМ РЕЗОНАНСЕ

*Н.А. Мордовец, И.Н. Котельников*

Институт радиотехники и электроники Российской академии наук,  
103907, Москва, Россия

(Получена 5 апреля 1994 г. Принята к печати 10 мая 1994 г.)

Проведены измерения зависимости фотопроводимости от магнитного поля гетероструктур GaAs/AlGaAs с изменяемой концентрацией 2D-электронов при воздействии лазерного излучения с длиной волны 419 мкм. Сопоставление полученных данных с измерениями температурной зависимости магнетосопротивления позволило выделить составляющую фотосопротивления, связанную с вкладом нетермализованных возбужденных носителей. Обнаружен сдвиг пика сигнала такой фотопроводимости относительно пика поглощения в сторону больших магнитных полей. При этом положение и ширина фотопроводимости при циклотронном резонансе в этом диапазоне магнитных полей не зависят от фактора заполнения уровней Ландау.

## Введение

В ряде работ, посвященных исследованию фотопроводимости (ФП) гетероструктур GaAs/AlGaAs с 2D-газом в области циклотронного резонанса (ЦР) [1–4], наблюдаемый сигнал связывается с наличием двух составляющих — чувствительностью магнетосопротивления к температуре  $(\partial\rho/\partial T)/\Delta T$  и перераспределением электронов между уровнями Ландау при поглощении излучения с энергией  $\hbar\omega_c$ , где  $\omega_c$  — циклотронная частота. Однако в этих работах отсутствует количественное подтверждение указанной модели, а также нет подробного исследования того, как изменяются свойства фотоотклика в зависимости от чисел заполнения  $\nu_c$  уровней Ландау при магнитных полях  $B_c$ , соответствующих ЦР [ $\nu_c = \nu(B_c)$ ]. Как правило, исследования проводились при произвольных  $\nu_c$ , определяемых длиной волны  $\lambda$  излучения и концентрацией  $n_s$  2D-электронов.

В настоящей работе проведено исследование фотоотклика холловских структур с 2D-электронным газом на лазерное излучение с длиной волны  $\lambda = 419$  мкм при изменяемых значениях чисел заполнения  $\nu_c \geq 10$ . Выбор таких значений  $\nu_c$  связан с отмеченным в [5] усложнением вида фотоотклика при малых значениях фактора заполнения из-за возможного появления фотоэдс и ее влияния на сигнал ФП.

## Образцы и методика эксперимента

Исследовались образцы с гетеропереходом GaAs/AlGaAs, изготовленные по стандартной технологии молекулярно-лучевой эпитаксии в виде холловского мостика  $4 \times 1$  мм. При  $T=4.2$  К начальная концентрация  $n_s$  2D-электронов составляла  $\simeq 4.4 \cdot 10^{11} \text{ см}^{-2}$ , подвижность  $\mu \simeq 2.5 \cdot 10^5 \text{ см}^2/\text{В}\cdot\text{с}$ . Измерения проводились в конфигурации Фарадея (направление магнитного поля перпендикулярно плоскости 2D-газа) при  $T=4.2$  К. Для измерения прошедшего через образец излучения использовался угольный болометр. Концентрация  $n_s$  перед измерениями могла изменяться путем импульсной засветки (эффект «замороженной» фотопроводимости) излучением от светодиода АЛ307А, который располагался вблизи образца. В качестве фильтра для входного излучения применялось окно из черного полиэтилена.

Излучение лазера дальнего ИК-диапазона с оптической накачкой от СО<sub>2</sub>-лазера (частота модуляции 17 Гц) с длиной волны 419 мкм попадало на образец через квазиоптический световод.

В эксперименте проводилось одновременное измерение при изменении тока через сверхпроводящий соленоид постоянных продольного и холловского напряжений  $V_{xx}$ ,  $V_{xy}$ , переменных сигналов (на частоте модуляции)  $v_{xx}^\sim$ ,  $v_{xy}^\sim$ , сигналов угольного болометра и опорного пироприемника, регистрирующего мощность лазера.

## Результаты и обсуждение

На рис. 1 показаны для  $n_s = 4.8 \cdot 10^{11} \text{ см}^{-2}$  ( $\nu_c \simeq 11$ ) измеренные зависимости от магнитного поля  $B$  пропускания  $T(B)/T(0)$  (1), магнетосопротивления  $\rho_{xx}(B)$  (2), а также фотоотклика  $\rho_{xx}^\sim(B)$  (3) и температурной чувствительности магнетосопротивления  $\Delta\rho_{xx}/\Delta T$  (4). Фотоотклик измерялся при негреющем токе через образец  $\simeq 3$  мкА и падающей на образец мощности  $\leq 100$  мкВт. Из вида фотоотклика следует, что существенный вклад в сигнал дает составляющая  $\propto (d\rho/dT) \cdot \Delta T$ . Для определения этой болометрической составляющей сигнала ФП необходимо знать зависимость величины разогрева  $\Delta T$  от  $B$ , которая пропорциональна поглощению  $A(B)$ . Для получения зависимости  $A(B)$  по экспериментально измеряемой зависимости пропускания  $T(B)$  вычислялись коэффициенты пропускания и поглощения излучения в модели [6], представляющей образец в виде двумерного слоя с друдевской проводимостью, находящегося на поверхности плоскопараллельной непоглощающей полупроводниковой пластины. Необходимые для вычисления  $A(B)$  значения  $n_s$  брались из холловских измерений, а значения оптической толщины пластины, эффективной массы  $m^*$  и времени рассеяния  $\tau$  подбирались по совпадению измеренных и расчетных кривых пропускания  $T(B)/T(0)$ . (Для изображенной на рис. 1 расчетной кривой  $T(B)$  значения  $m^*$  и  $\tau$  составляют соответственно 0.071 и  $1.2 \cdot 10^{-11}$  с). В результате оказалось возможным смоделировать болометрическую составляющую отклика  $(\partial\rho/\partial T) \cdot \Delta T \propto (\Delta\rho_{xx}/\Delta T) \cdot A(B)$  (см. кривую 5), а после вычитания кривой 5 из кривой 3 выделить составляющую фотосопротивления  $\rho_n^\sim$ , свободную от эффектов разогрева. Коэффициент пропорциональности между  $\Delta T$  и  $A(B)$  подбирался

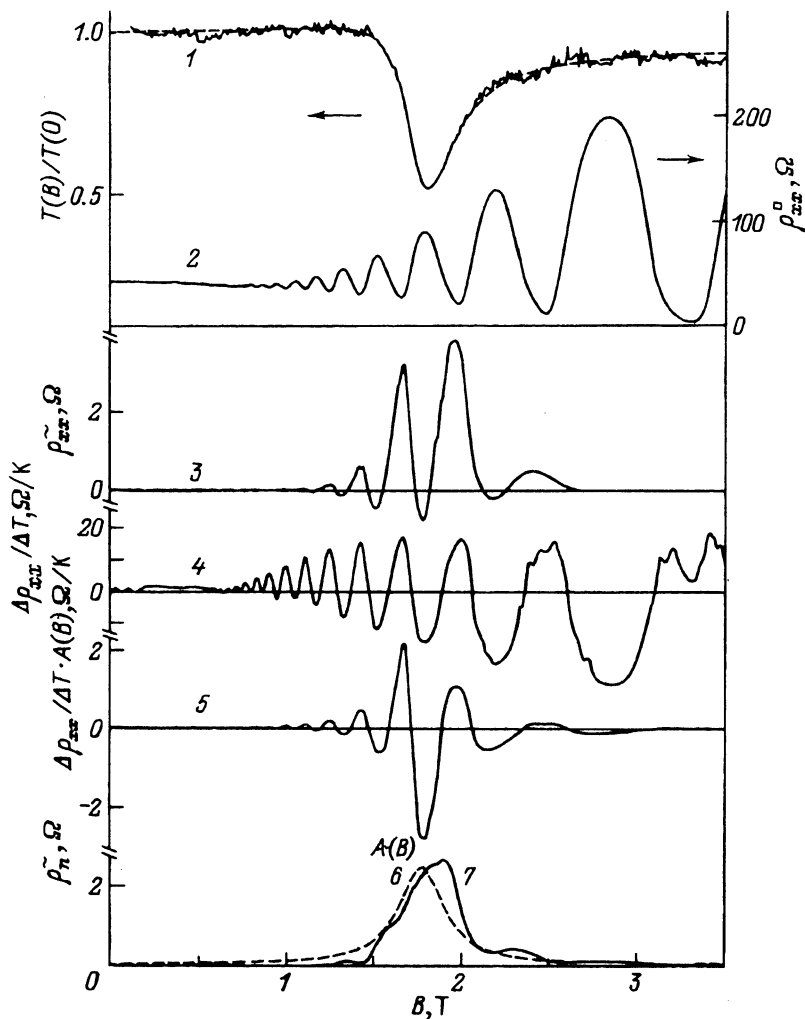


Рис. 1. Зависимости от магнитного поля: 1 — приведенного сигнала пропускания  $T(B)/T(0)$  (сплошная кривая — эксперимент, штриховая — расчет); 2 — продольного магнетосопротивления  $\rho_{xx}''$ ; 3 — фотосопротивления; 4 — чувствительности магнетосопротивления к температуре  $\Delta\rho_{xx}''/\Delta T$ ; 5 — величины  $\Delta\rho_{xx}''/\Delta T$  с учетом поглощенной мощности; 6 — поглощения; 7 — фотосопротивления  $\rho_n''$ . Температура — 4.2 К. Длина волны — 419 мкм.

по наилучшему подавлению осцилляций вне резонанса в результирующем сигнале, что дало значение  $\Delta T \simeq 0.2$  К при  $B = B_c$ . Сопоставление кривых  $A(B)$  (кривая 6, штриховая линия) и  $x\rho_n''(B)$  (кривая 7, сплошная линия) показывает, что ширины пиков этих кривых примерно одинаковы, однако максимум сигнала  $\rho_n''(B)$  сдвинут по отношению к максимуму  $A(B)$  в сторону больших полей.

Необходимо отметить, что в проведенных нами ранее измерениях на образцах с низкой подвижностью  $\simeq 50\,000$  см<sup>2</sup>/В·с [7] составляющая  $\rho_n''(B)$  не была обнаружена, а наблюдавшийся фотоотклик полностью определялся болометрической составляющей.

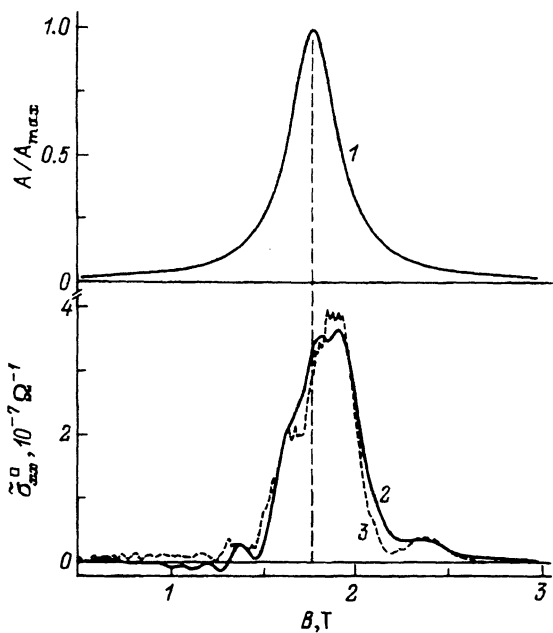


Рис. 2. Зависимости от магнитного поля поглощения (1) и усредненных сигналов фотопроводимости (2, 3) (см. пояснения в тексте).

Для выяснения того, зависит ли вид кривой  $\rho_n^*(B)$  от фактора заполнения уровней Ландау, были проведены аналогичные измерения для 4 различных значений концентрации  $n_s$ , при которых фактор заполнения  $\nu_c$  равномерно изменялся от  $\simeq 10.5$  до  $\simeq 11.5$ . В пределах экспериментальной ошибки зависимость  $\rho_n^*(B)$  не менялась во всех 4 случаях.

На рис. 2 приведены результат усреднения (по этим 4 значениям фактора заполнения) кривых поглощения  $A(B)$  (кривая 1), а также кривых фотопроводимости  $\sigma_n^*(B)$  (кривая 2). Пересчет зависимости  $\rho_n^*(B)$  в  $\sigma_n^*(B) = \rho_n^*(B)/(p_{xy})^2$  сделан, чтобы устраниить некоторый сдвиг пика  $\rho_n^*(B)$  относительно  $A(B)$  из-за того, что  $\rho_n^*(B) \simeq \sigma_n^*(B)/\sigma_{xy}^2(B) \propto A(B) \cdot B^2$ . При этом различие в положении пиков кривых поглощения и ФП сохраняется. То, что данный факт не связан с ошибками обработки, показывает кривая 3 (штриховая линия), полученная усреднением измеренных сигналов ФП  $\sigma_{xx}^*$  без какой-либо обработки — осцилляции, связанные с разогревом, эффективно подавляются при равномерном изменении  $\nu_c$  в пределах  $\Delta\nu_c \simeq 1$ , что приводит к хорошему совпадению с кривой 2. Таким образом, отмеченный сдвиг максимумов поглощения и ФП не связан ни со степенью заполнения уровняй Ландау, ни с возможными неточностями при выделении неразогревного сигнала ФП.

Наличие составляющей  $\sigma_n^*(B)$  можно объяснить вкладом нетермализованных возбужденных электронов в процесс рассеяния. В стационарных условиях накачки в каждый момент времени существует избыточная доля электронов, занимающих более высокие уровни энергии в квазинепрерывном спектре, по сравнению с термализованными электронами при данной электронной температуре. За счет различия в подвижности таких электронов по сравнению с равновесным случаем

и возникает дополнительная составляющая в фотопроводимости. Исследование вклада нетермализованных носителей в ФП при ЦР может дать ценную информацию о кинетике таких систем, для которых в настоящее время отсутствует теоретический анализ влияния нетермализованных возбужденных 2D-электронов на магнитотранспорт.

По-видимому, отсутствие составляющей  $\rho_n^{\sim}(B)$  в фотоотклике в образцах с низкой подвижностью объясняется значительным уменьшением времени релаксации энергии электронов с ростом столкновительного уширения уровней Ландау.

При относительно высоких значениях  $n_s$  и  $\tau$  ширина линии  $A(B)$  становится слабо зависящей от циклотронного времени рассеяния из-за значительного роста коэффициента отражения вблизи  $B_c$  [8]. Расчет показывает, что при  $n_s=4.4 \cdot 10^{11} \text{ см}^{-2}$  ширина  $A(B)$  почти не зависит от  $\tau$  при  $\tau \geq 10^{-11} \text{ с}$ . А это приводит к тому, что ширина линии ФП в наших экспериментах также практически не меняется. Неясна пока причина систематического сдвига пиков  $\rho_n^{\sim}(B)$  по отношению к пикам  $A(B)$  в сторону больших  $B$ .

Авторы благодарны Б.К. Медведеву за изготовление образцов и Н.А. Варванину за помощь в проведении экспериментов.

Работа выполнена в рамках Программы фундаментальных исследований Министерства науки Российской Федерации по проблеме «Фундаментальные сверхвысоковакуумные исследования и разработки».

### Список литературы

- [1] J.C. Maan, Th. Englert, D.C. Tsui et al. Appl. Phys. Lett., **40**, 609 (1982).
- [2] R.E. Horstman, E.J. v.d. Broek, J. Wolter et al. Sol. St. Commun., **50**, 753 (1984).
- [3] D. Stein, G. Ebert, K. von Klitzing et al. Surf. Sci., **142**, 406 (1984).
- [4] G.L.J. Rikken, P. Wyder, K. Ploog et al. Surf. Sci., **196**, 303 (1988).
- [5] Н.А. Мордовец, Н.А. Варванин, Н.Н. Котельников. Тез. I Всес. конф. по физике полупроводников (Н.Новгород, 1993) т. 1, с. 145.
- [6] G. Abstreiter, J.P. Kotthaus, J.F. Koch et al. Phys. Rev. B, **14**, 2480 (1976).
- [7] Н.А. Варванин, В.Н. Губанков, Н.Н. Котельников и др. ФТП, **24**, 635 (1990).
- [8] M.A. Hopkins, R.J. Nicholas, D.J. Barnes et al. Phys. Rev. B, **39**, 13302 (1989).

Редактор В.В. Чалдышев